

doi: 10.3969/j.issn.1007-2861.2011.03.013

# Sine-Gordon 方程的极限对称及应用

沈青, 赵松林, 张大军

(上海大学理学院, 上海 200444)

**摘要:** 研究 sine-Gordon 方程的极限对称及应用. 由对称引出相似约化, 求得 sine-Gordon 方程的极限解; 利用对称与孤子方程的自相容源之间的联系, 得到带新自相容源的 sine-Gordon 方程, 并求出该方程的解.

**关键词:** 对称; sine-Gordon 方程; 相似约化; 自相容源; Hirota 方法

中图分类号: O 175.24

文献标志码: A

文章编号: 1007-2861(2011)03-0280-06

## Limit Symmetry of Sine-Gordon Equation and Applications

SHEN Qing, ZHAO Song-lin, ZHANG Da-jun

(College of Sciences, Shanghai University, Shanghai 200444, China)

**Abstract:** Limit symmetry of the sine-Gordon equation and its applications are considered. The similarity reduction leads to limit solutions of the sine-Gordon equation. Besides, based on the relationship between symmetries and sources of soliton equations, a sine-Gordon equation with new self-consistent sources is obtained and its solutions are derived.

**Key words:** symmetries; sine-Gordon equation; similarity reduction; self-consistent sources; Hirota method

众所周知, 孤立子解可以由许多不同的方法求得, 例如反散射变换、Darboux 变换、代数几何方法、Hirota 方法等. 在反散射变换中,  $N$ -孤子解是由谱问题中  $N$  个不同的特征值, 即透射系数  $\frac{1}{a(k)}$  的  $N$  个不同的简单极点  $\{k_j\}$  决定的. 而在对称理论<sup>[1]</sup>中, 经典的  $N$ -孤子解与平方本征函数的对称约束有着密切联系<sup>[2]</sup>. 对称方法为微分方程的求解提供了强有力的工具<sup>[3-4]</sup>, 基于对称的扰动方法已被成功应用于许多扰动方程的求解<sup>[3-5]</sup>. 另外, 利用平方本征函数对称的极限形式, Zhang 等<sup>[6]</sup>得到了 Korteweg-de Vries (KdV) 方程的极限解以及带极限源的 KdV 系统.

本研究将讨论 sine-Gordon 方程的一个新对称. 该对称可以由已知的平方本征函数对称通过一个极限过程得到, 而且由相应的对称约束得到的新解是一个二重极点解<sup>[7-9]</sup>, 可以看作是方程的极限解. 另外, 平方本征函数与孤立子方程的自相容源之间有着紧密关系<sup>[10-11]</sup>. 新的极限对称引出一个带新自相容源的 sine-Gordon 方程, 本研究将利用双线性方法求解这个带源的方程.

### 1 Sine-Gordon 方程的一个极限对称

Sine-Gordon 方程为

$$u_{,xt} = \sin u. \quad (1)$$

收稿日期: 2009-12-08

基金项目: 国家自然科学基金资助项目(11071157); 上海市教委重点学科建设资助项目(J50101)

通信作者: 张大军(1971~), 男, 教授, 博士生导师, 博士, 研究方向为孤立子理论与应用. E-mail: djzhang@staff.shu.edu.cn

该方程最早来自于负常曲率曲面,可用于描述 Josephson 传输线中的磁通量<sup>[12-13]</sup>、共振介质中的超短脉冲传播<sup>[14]</sup>等,具有丰富的物理与几何背景. Sine-Gordon 方程是可积的,其 Lax 对为

$$\begin{pmatrix} \phi_1 \\ \phi_2 \end{pmatrix}_x = \begin{pmatrix} -\lambda & \frac{u_x}{2} \\ -\frac{u_x}{2} & \lambda \end{pmatrix} \begin{pmatrix} \phi_1 \\ \phi_2 \end{pmatrix}, \quad (2)$$

$$\begin{pmatrix} \phi_1 \\ \phi_2 \end{pmatrix}_t = \frac{1}{4\lambda} \begin{pmatrix} -\cos u & \sin u \\ \sin u & \cos u \end{pmatrix} \begin{pmatrix} \phi_1 \\ \phi_2 \end{pmatrix}, \quad (3)$$

式中,  $\lambda$  为谱参数. 可以验证,当  $\phi_1$  和  $\phi_2$  满足式(2)和(3)时,有

$$\sigma = (\phi_1^2 + \phi_2^2). \quad (4)$$

式(4)为 sine-Gordon 方程的一个对称,即满足  $\sigma_{xt} = \sigma \cos u$ . 利用对称所满足的线性方程的线性性质,由式(4)以及方程的另一个对称  $u_x$ ,可以得到方程的一个对称约束为

$$u_x = \sum_{j=1}^N (\phi_{1j}^2 + \phi_{2j}^2), \quad (5)$$

式中,  $\phi_{ij}$  为 Lax 对当  $\lambda = \lambda_j$  时的解. 由式(5)可以引出 sine-Gordon 方程的  $N$ -孤子解<sup>[15-16]</sup>.

引入

$$\tilde{\sigma} = \sum_{j=1}^N (\phi_{1j}\psi_{1j} + \phi_{2j}\psi_{2j}), \quad (6)$$

式中,  $\phi_{1j}$  和  $\phi_{2j}$ ,  $\psi_{1j}$  和  $\psi_{2j}$  满足如下关系:

$$\begin{pmatrix} \phi_{1j} \\ \phi_{2j} \end{pmatrix}_x = \begin{pmatrix} -\lambda_j & \frac{u_x}{2} \\ -\frac{u_x}{2} & \lambda_j \end{pmatrix} \begin{pmatrix} \phi_{1j} \\ \phi_{2j} \end{pmatrix}, \quad (7)$$

$$\begin{pmatrix} \phi_{1j} \\ \phi_{2j} \end{pmatrix}_t = \frac{1}{4\lambda_j} \begin{pmatrix} -\cos u & \sin u \\ \sin u & \cos u \end{pmatrix} \begin{pmatrix} \phi_{1j} \\ \phi_{2j} \end{pmatrix}, \quad (8)$$

$$\begin{pmatrix} \psi_{1j} \\ \psi_{2j} \end{pmatrix}_x = \begin{pmatrix} -\lambda_j & \frac{u_x}{2} \\ -\frac{u_x}{2} & \lambda_j \end{pmatrix} \begin{pmatrix} \psi_{1j} \\ \psi_{2j} \end{pmatrix} + \begin{pmatrix} -1 & 0 \\ 0 & 1 \end{pmatrix} \begin{pmatrix} \phi_{1j} \\ \phi_{2j} \end{pmatrix}, \quad (9)$$

$$\begin{pmatrix} \psi_{1j} \\ \psi_{2j} \end{pmatrix}_t = \frac{1}{4\lambda_j} \begin{pmatrix} -\cos u & \sin u \\ \sin u & \cos u \end{pmatrix} \begin{pmatrix} \psi_{1j} \\ \psi_{2j} \end{pmatrix} - \frac{1}{4\lambda_j^2} \begin{pmatrix} -\cos u & \sin u \\ \sin u & \cos u \end{pmatrix} \begin{pmatrix} \phi_{1j} \\ \phi_{2j} \end{pmatrix}. \quad (10)$$

容易验证,  $\tilde{\sigma}$  满足等式

$$\tilde{\sigma}_{xt} = \tilde{\sigma} \cos u. \quad (11)$$

这表明  $\tilde{\sigma}$  也是 sine-Gordon 方程的一个对称,式(9)

和(10)可以视为式(7)和(8)关于  $\lambda_j$  的微分,因此,称  $\tilde{\sigma}$  为“极限对称”(相当于式(2)和(3)关于  $\lambda = \lambda_j + \varepsilon$  的扰动展开, Taylor 展开式中的领头项即为式(9)和(10)).

## 2 相似约化

### 2.1 相似约化与精确解

考虑式(1)的对称的组合

$$\hat{\sigma} = u_x - \sum_{j=1}^N (\phi_{1j}\psi_{1j} + \phi_{2j}\psi_{2j}), \quad (12)$$

式中,  $\phi_{1j}$ ,  $\phi_{2j}$  满足式(7)和(8),  $\psi_{1j}$ ,  $\psi_{2j}$  满足式(9)和(10). 令  $\hat{\sigma} = 0$ , 有

$$u_x = \sum_{j=1}^N (\phi_{1j}\psi_{1j} + \phi_{2j}\psi_{2j}). \quad (13)$$

这是一个新对称约束. 整个系统由式(1), (7) ~ (10), (13) 组成, 其中  $j = 1, 2, \dots, N$ . 直接代入验证发现, 当  $\phi_{kj}, \psi_{kj}$  ( $k = 1, 2$ ) 满足式(7) ~ (10) 时, 由式(13)定义的  $u$  自动满足 sine-Gordon 方程. 所以, 此约束系统可以简化为

$$u_x = \sum_{j=1}^N (\phi_{1j}\psi_{1j} + \phi_{2j}\psi_{2j}), \quad (14)$$

$$\begin{cases} \phi_{1j,x} = -\lambda_j \phi_{1j} + \frac{u_x}{2} \phi_{2j}, \\ \phi_{2j,x} = -\frac{u_x}{2} \phi_{1j} + \lambda_j \phi_{2j}, \end{cases} \quad (15)$$

$$\begin{cases} \phi_{1j,t} = \frac{1}{4\lambda_j} (-\phi_{1j} \cos u + \phi_{2j} \sin u), \\ \phi_{2j,t} = \frac{1}{4\lambda_j} (\phi_{1j} \sin u + \phi_{2j} \cos u), \end{cases} \quad (16)$$

$$\begin{cases} \psi_{1j,x} = -\lambda_j \psi_{1j} + \frac{u_x}{2} \psi_{2j} - \phi_{1j}, \\ \psi_{2j,x} = -\frac{u_x}{2} \psi_{1j} + \lambda_j \psi_{2j} + \phi_{2j}, \end{cases} \quad (17)$$

$$\psi_{1j,t} = \frac{1}{4\lambda_j} (-\psi_{1j} \cos u + \psi_{2j} \sin u) - \frac{1}{4\lambda_j^2} (-\phi_{1j} \cos u + \phi_{2j} \sin u), \quad (18)$$

$$\psi_{2j,t} = \frac{1}{4\lambda_j} (\psi_{1j} \sin u + \psi_{2j} \cos u) - \frac{1}{4\lambda_j^2} (\phi_{1j} \sin u + \phi_{2j} \cos u). \quad (19)$$

引入如下变换:

$$u = 2i \ln \frac{\bar{f}}{f}, \quad (20)$$

$$\begin{cases} \phi_{1j} = \frac{\bar{g}_j}{f} + \frac{g_j}{f}, & \phi_{2j} = i\left(\frac{\bar{g}_j}{f} - \frac{g_j}{f}\right), \\ \psi_{1j} = \frac{\bar{h}_j}{f} + \frac{h_j}{f}, & \psi_{2j} = i\left(\frac{\bar{h}_j}{f} - \frac{h_j}{f}\right), \end{cases} \quad (21)$$

式中,  $i$  为虚数单位, “-”表示复共轭. 将式(14)两边对  $x$  微分, 利用式(20)和(21), 可以将式(14)~(19)写成如下双线性形式:

$$D_x^2 f \cdot f = 2i \sum_{j=1}^N (2k_j g_j h_j - g_j^2), \quad (22)$$

$$D_x \bar{g}_j \cdot f = k_j g_j \bar{f}, \quad (23)$$

$$D_x \bar{h}_j \cdot f = k_j h_j \bar{f} - g_j \bar{f}, \quad (24)$$

$$D_t g_j \cdot f = \frac{1}{4k_j} \bar{g}_j \bar{f}, \quad (25)$$

$$D_t h_j \cdot f = \frac{1}{4k_j} \bar{h}_j \bar{f} + \frac{1}{4k_j^2} \bar{g}_j \bar{f}. \quad (26)$$

为了方便, 在式(22)~(26)中已将  $\lambda_j$  记为  $-k_j$ , 算子  $D$  即为所熟悉的 Hirota 双线性算子<sup>[17]</sup>, 定义为

$$D_t^m D_x^n a(t, x) \cdot b(t, x) = \frac{\partial^m}{\partial s^m} \frac{\partial^n}{\partial y^n} a(t+s, x+y) \cdot$$

$$b(t-s, x-y) \Big|_{s=0, y=0}, m, n = 0, 1, 2, \dots$$

为了精确地求解式(22)~(26), 将  $f, g_j, h_j$  分别按  $\varepsilon$  级数展开, 有

$$\begin{cases} f = 1 + \sum_{l=1}^{\infty} f^{(2l)} \varepsilon^{2l}, \\ g_j = \sum_{l=1}^{\infty} g_j^{(2l-1)} \varepsilon^{2l-1}, \\ h_j = \sum_{l=1}^{\infty} h_j^{(2l-1)} \varepsilon^{2l-1}. \end{cases} \quad (27)$$

将式(27)代入式(22)~(26). 当  $N=1$  时, 经过计算发现, 式(22)~(26)的解可以由截断的级数展开式(27)给出, 其中

$$f^{(2)} = i\left(-x + \frac{t}{4k_1^2} + \frac{1}{2k_1}\right) e^{2\xi_1}, \quad f^{(4)} = \frac{1}{16k_1^2} e^{4\xi_1}, \quad (28)$$

$$g_1^{(1)} = \sqrt{2k_1} e^{\xi_1}, \quad g_1^{(3)} = i \frac{\sqrt{2}}{4\sqrt{k_1}} e^{3\xi_1}, \quad (29)$$

$$\begin{cases} h_1^{(1)} = -\sqrt{2k_1} \left(x - \frac{t}{4k_1^2}\right) e^{\xi_1}, \\ h_1^{(3)} = i \frac{\sqrt{2}}{4\sqrt{k_1}} \left(x - \frac{t}{4k_1^2} - \frac{1}{k_1}\right) e^{3\xi_1}, \end{cases} \quad (30)$$

$$f^{(2l)} = g_1^{(2l-1)} = h_1^{(2l-1)} = 0, \quad l \geq 3, \quad (31)$$

式中,  $k_1, e^{\xi_1^{(0)}}$  都为实参数, 且

$$\xi_1 = k_1 x + \frac{t}{4k_1} + \xi_1^{(0)}. \quad (32)$$

在式(27)中, 取  $\varepsilon=1$ , 由式(20)和(21), 可求得 sine-Gordon 方程的解为

$$\begin{cases} u = 2i \ln \frac{\bar{f}}{f}, \\ f = 1 + i\left(-x + \frac{t}{4k_1^2} + \frac{1}{2k_1}\right) e^{2\xi_1} + \frac{1}{16k_1^2} e^{4\xi_1}, \end{cases} \quad (33)$$

或表示为

$$u = 4 \arctan \frac{-x + \frac{t}{4k_1^2} + \frac{1}{2k_1}}{e^{-2\xi_1} + \frac{1}{16k_1^2} e^{2\xi_1}}. \quad (34)$$

## 2.2 动力学分析

为了更好地分析式(34)的动力学特征, 先来看 sine-Gordon 方程的 2-孤子解, 它可以写为<sup>[18-20]</sup>

$$\begin{cases} u = 2i \ln \frac{\bar{f}}{f}, \\ f = 1 + i(e^{2\xi_1} + e^{2\xi_2}) - \left(\frac{k_1 - k_2}{k_1 + k_2}\right)^2 e^{2\xi_1 + 2\xi_2}, \end{cases} \quad (35)$$

$$\xi_j = k_j x + \frac{t}{4k_j} + \xi_j^{(0)}, \quad j = 1, 2. \quad (36)$$

众所周知, sine-Gordon 方程的单孤子解具有 kink 和反-kink 两种类型, 因此, 2-孤子的相互作用也自然较 KdV 方程更丰富.

为了与式(33)建立联系, 先将式(35)中的  $e^{2\xi_1^{(0)}}$ ,  $e^{2\xi_2^{(0)}}$  分别替换为  $\frac{\alpha_1 e^{2(\xi_1^{(0)} + \beta_1(k_1))}}{k_1 - k_2}$  和  $\frac{\alpha_1 e^{2(\xi_1^{(0)} + \beta_1(k_2))}}{k_2 - k_1}$ , 其中  $\alpha_1$  为实参数,  $\beta_1(k_j)$  为关于  $k_j$  的可微函数. 则式(35)可以写成

$$\begin{cases} u = 2i \ln \frac{\bar{f}}{f}, \\ f = 1 + i\alpha_1 \frac{e^{2\xi_1} - e^{2\xi_2}}{k_1 - k_2} + \left(\frac{\alpha_1}{k_1 + k_2}\right)^2 e^{2\xi_1 + 2\xi_2}, \end{cases} \quad (37)$$

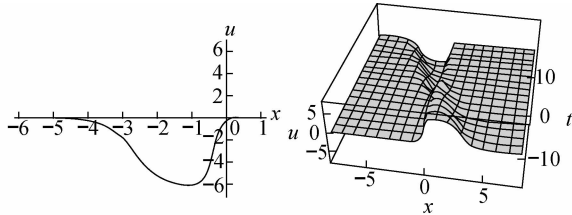
式中,

$$\xi_j = k_j x + \frac{t}{4k_j} + \beta_1(k_j) + \xi_1^{(0)}, \quad j = 1, 2. \quad (38)$$

式(37)的图像如图 1 所示, 其中  $k_1=1, k_2=3, \alpha_1=-\frac{1}{2}, \xi_1^{(0)}=0, \beta_1(k_1)=-\frac{1}{2} \ln k_1$ .

从图 1(a)中看出, 波形是非对称的. 事实上, 在波的两侧各有一个拐点, 拐点处的斜率分别为  $4k_2$

和  $-4k_1$  ( $k_2 > k_1 > 0$ ), 而拐点移动的速度分别为  $-\frac{1}{4k_1^2}$  和  $-\frac{1}{4k_2^2}$ , 它们分别代表相互作用的 2 个孤子. 通过渐进分析发现, 这些特征在相互作用以后并不改变.



(a) 当  $t=5$  时, 二维平面图 (b)  $u$  的三维图

图 1 Sine-Gordon 方程的解 (37) 的图像

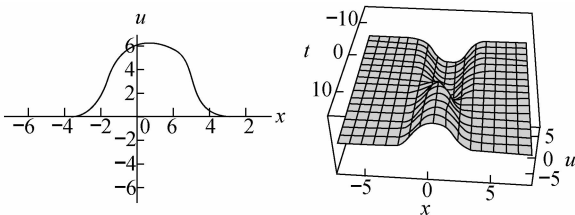
Fig. 1 Plots for solution of sine-Gordon equation given by (37)

在式 (37) 中, 令  $k_2 \rightarrow k_1$ , 并利用 L'Hospital 法则, 可得

$$f \rightarrow 1 + 2i\alpha_1 \left( x - \frac{t}{4k_1^2} + \partial_{k_1} \beta_1(k_1) \right) e^{2\xi_1} + \frac{\alpha_1^2}{4k_1^2} e^{4\xi_1}. \quad (39)$$

当  $\alpha_1 = -\frac{1}{2}, \beta_1(k_1) = -\frac{1}{2} \ln k_1$  时, 式 (39) 与式 (33) 是一致的, 这就意味着由式 (13) 得到的解即是 sine-Gordon 方程 2-孤子解的极限解.

极限解 (34) 的图像如图 2 所示, 其中  $k_1 = 1, \xi_1^{(0)} = 0$ .



(a) 当  $t=50$  时, 二维平面图 (b)  $u$  在移动坐标系中的三维图

图 2 Sine-Gordon 方程的解 (34) 的图像

Fig. 2 Plots for solution of sine-Gordon equation given by (34)

显然, 图 2(a) 中的波形是对称的, 这正是 2-孤子解 (37) 中  $k_2 \rightarrow k_1$  的体现. 为了更好地研究解 (33) 的渐进性, 将其放入如下移动坐标系内 (见图 2(b)):

$$\left( X = x + \frac{t}{4k_1^2}, t \right). \quad (40)$$

通过渐进分析发现, 图 2(b) 中 4 个拐点的轨迹可以用下述 4 条曲线来描述.

**定理 1** 设式 (34) 中,  $k_1 > 0$ , 则当  $t \rightarrow -\infty$  时, 有 2 条移动的拐点轨迹, 分别为

$$X_{BR} = \frac{1}{2k_1} [\ln(-t) + \ln 8], \quad X_{BR} \rightarrow +\infty,$$

$$X_{BL} = \frac{1}{2k_1} [-\ln(-t) + \ln k_1 + \ln 2], \quad X_{BL} \rightarrow -\infty.$$

在拐点处,  $u$  的斜率分别为  $4k_1$  和  $-4k_1$ ,  $u$  的值为  $u|_{X_{BR}} = u|_{X_{BL}} = -\pi$ . 当  $t \rightarrow +\infty$  时, 有 2 条移动的拐点轨迹, 分别为

$$X_{TR} = \frac{1}{2k_1} (\ln t + \ln 8), \quad X_{TR} \rightarrow +\infty,$$

$$X_{TL} = \frac{1}{2k_1} (-\ln t + \ln k_1 + \ln 2), \quad X_{TL} \rightarrow -\infty.$$

在拐点处  $u$  的斜率分别为  $4k_1$  和  $-4k_1$ ,  $u$  的值为  $u|_{X_{TR}} = u|_{X_{TL}} = \pi$ .

### 3 带新自相容源的 sine-Gordon 方程

在文献 [21] 中, 带自相容源的 sine-Gordon 方程定义为

$$\begin{cases} u_{xt} = \sin u + 2 \sum_{j=1}^N (\phi_{1j}^2 + \phi_{2j}^2)_x, \\ \phi_{1j,x} = -\lambda_j \phi_{1j} + \frac{u_x}{2} \phi_{2j}, \\ \phi_{2j,x} = -\frac{u_x}{2} \phi_{1j} + \lambda_j \phi_{2j}. \end{cases} \quad (41)$$

类似地, 引入如下带极限源的 sine-Gordon 方程:

$$u_{xt} = \sin u + 2 \sum_{j=1}^N (\phi_{1j} \psi_{1j} + \phi_{2j} \psi_{2j})_x, \quad (42)$$

$$\phi_{1j,x} = -\lambda_j \phi_{1j} + \frac{u_x}{2} \phi_{2j}, \quad \phi_{2j,x} = -\frac{u_x}{2} \phi_{1j} + \lambda_j \phi_{2j}, \quad (43)$$

$$\begin{cases} \psi_{1j,x} = -\lambda_j \psi_{1j} + \frac{u_x}{2} \psi_{2j} - \phi_{1j}, \\ \psi_{2j,x} = -\frac{u_x}{2} \psi_{1j} + \lambda_j \psi_{2j} + \phi_{2j}, \end{cases} \quad (44)$$

式中,  $\{\lambda_j\}_{j=1}^N$  互不相同,  $j = 1, 2, \dots, N$ . 式 (42) ~ (44) 为 Lax 可积系, Lax 对为

$$\begin{cases} \begin{pmatrix} \phi_1 \\ \phi_2 \end{pmatrix}_x = \begin{pmatrix} -\lambda & \frac{u_x}{2} \\ -\frac{u_x}{2} & \lambda \end{pmatrix} \begin{pmatrix} \phi_1 \\ \phi_2 \end{pmatrix}, \\ \begin{pmatrix} \phi_1 \\ \phi_2 \end{pmatrix}_t = \begin{pmatrix} A & B \\ C & -A \end{pmatrix} \begin{pmatrix} \phi_1 \\ \phi_2 \end{pmatrix}, \end{cases} \quad (45)$$

式中,

$$\begin{aligned}
 A &= -\cos u + \partial^{-1} u_x \sum_{j=1}^N \left[ \frac{2\lambda_j(\phi_{2j}\psi_{2j} - \phi_{1j}\psi_{1j})}{\lambda + \lambda_j} + \frac{\lambda(\phi_{2j}^2 - \phi_{1j}^2)}{(\lambda + \lambda_j)^2} \right] + \partial^{-1} u_x \sum_{j=1}^N \left[ \frac{2\lambda_j(\phi_{2j}\psi_{2j} - \phi_{1j}\psi_{1j})}{\lambda - \lambda_j} + \frac{\lambda(\phi_{2j}^2 - \phi_{1j}^2)}{(\lambda - \lambda_j)^2} \right], \\
 B &= \sin u - \sum_{j=1}^N \left[ -\frac{2\lambda_j\phi_{2j}\psi_{2j}}{\lambda + \lambda_j} - \frac{\phi_{2j}^2}{\lambda + \lambda_j} + \frac{\lambda_j\phi_{2j}^2}{(\lambda + \lambda_j)^2} \right] - \sum_{j=1}^N \left[ \frac{2\lambda_j\phi_{1j}\psi_{1j}}{\lambda - \lambda_j} + \frac{\phi_{1j}^2}{\lambda - \lambda_j} + \frac{\lambda_j\phi_{1j}^2}{(\lambda - \lambda_j)^2} \right], \\
 C &= \sin u + \sum_{j=1}^N \left[ -\frac{2\lambda_j\phi_{1j}\psi_{1j}}{\lambda + \lambda_j} - \frac{\phi_{1j}^2}{\lambda + \lambda_j} + \frac{\lambda_j\phi_{1j}^2}{(\lambda + \lambda_j)^2} \right] + \sum_{j=1}^N \left[ \frac{2\lambda_j\phi_{2j}\psi_{2j}}{\lambda - \lambda_j} + \frac{\phi_{2j}^2}{\lambda - \lambda_j} + \frac{\lambda_j\phi_{2j}^2}{(\lambda - \lambda_j)^2} \right].
 \end{aligned}$$

由式(45)的相容性条件,可导出式(42),其中需利用如下关系:

$$\begin{cases}
 L \begin{pmatrix} \phi_{1j}^2 \\ \phi_{2j}^2 \end{pmatrix} = 2\lambda_j \begin{pmatrix} \phi_{1j}^2 \\ \phi_{2j}^2 \end{pmatrix}, \\
 L \begin{pmatrix} \phi_{1j}\psi_{1j} \\ \phi_{2j}\psi_{2j} \end{pmatrix} = 2\lambda_j \begin{pmatrix} \phi_{1j}\psi_{1j} \\ \phi_{2j}\psi_{2j} \end{pmatrix} + \begin{pmatrix} \phi_{1j}^2 \\ \phi_{2j}^2 \end{pmatrix}, \\
 L \begin{pmatrix} \phi_{2j}^2 \\ \phi_{1j}^2 \end{pmatrix} = -2\lambda_j \begin{pmatrix} \phi_{2j}^2 \\ \phi_{1j}^2 \end{pmatrix}, \\
 L \begin{pmatrix} \phi_{2j}\psi_{2j} \\ \phi_{1j}\psi_{1j} \end{pmatrix} = -2\lambda_j \begin{pmatrix} \phi_{2j}\psi_{2j} \\ \phi_{1j}\psi_{1j} \end{pmatrix} - \begin{pmatrix} \phi_{2j}^2 \\ \phi_{1j}^2 \end{pmatrix},
 \end{cases} \quad (46)$$

$$F^{-1}u_{xx} = \cos u \partial^{-1}(\sin u) - \sin u \partial^{-1}(\cos u - 1) = \sin u, \quad (47)$$

$$\text{式中, } L = \begin{pmatrix} -\partial - \frac{1}{2}u_x \partial^{-1}u_x & \frac{1}{2}u_x \partial^{-1}u_x \\ -\frac{1}{2}u_x \partial^{-1}u_x & \partial + \frac{1}{2}u_x \partial^{-1}u_x \end{pmatrix},$$

$F = \partial^2 + \partial u_x \partial^{-1} u_x$ ,  $F^{-1} = \cos u \partial^{-1} \cos u \partial^{-1} + \sin u \partial^{-1} \sin u \partial^{-1}$ ,且  $\phi_{ij}, \psi_{ij}$  满足式(43)和(44).

式(42)~(44)能够被精确求解.采用变换式(20)~(21),则式(42)~(44)转化为如下双线性形式( $\lambda_j = -k_j$ ):

$$D_x D_t f \cdot f = \frac{1}{2}(f^2 - \bar{f}^2) + 4i \sum_{j=1}^N (2k_j g_j h_j + g_j^2), \quad (48)$$

$$D_x \bar{g}_j \cdot f = k_j g_j \bar{f}, \quad (49)$$

$$D_x \bar{h}_j \cdot f = k_j h_j \bar{f} - g_j \bar{f}. \quad (50)$$

类似第2节中的求解过程,如式(27)将  $f, g_j, h_j$  展开,并代入到式(48)~(50)中.当  $N=1$  时,可得

$$f^{(2)} = i \left( -x + \frac{t}{4k_1^2} + \frac{1}{k_1} \right) e^{2\xi_1}, \quad f^{(4)} = \frac{1}{16k_1^2} e^{4\xi_1}, \quad (51)$$

$$g_1^{(1)} = \sqrt{\beta_1(t)} e^{\xi_1}, \quad g_1^{(3)} = \frac{i}{4k_1} \sqrt{\beta_1(t)} e^{3\xi_1}, \quad (52)$$

$$\begin{cases}
 h_1^{(1)} = \sqrt{\beta_1(t)} \left( -x + \frac{t}{4k_1^2} \right) e^{\xi_1}, \\
 h_1^{(3)} = \frac{i}{4k_1} \sqrt{\beta_1(t)} \left( x - \frac{t}{4k_1^2} - \frac{2}{k_1} \right) e^{3\xi_1},
 \end{cases} \quad (53)$$

$$f^{(2l)} = g_1^{(2l-1)} = h_1^{(2l-1)} = 0, \quad l \geq 3,$$

式中,

$$\xi_1 = k_1 x + \frac{t}{4k_1} + \int_0^t \beta_1(z) dz + \xi_1^{(0)}, \quad (54)$$

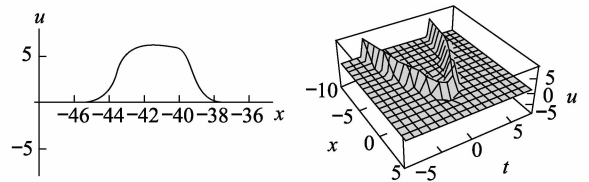
式中,  $k_1, e^{\xi_1^{(0)}}$  为实参数,  $\beta_1(z)$  为  $z$  的任意连续函数.在式(27)中,若取  $\varepsilon=1$ ,可得式(42)~(44)的一个解为

$$\begin{cases}
 u = 2i \ln \frac{\bar{f}}{f}, \\
 f = 1 + i \left( -x + \frac{t}{4k_1^2} + \frac{1}{k_1} \right) e^{2\xi_1} + \frac{1}{16k_1^2} e^{4\xi_1}.
 \end{cases} \quad (55)$$

或写为

$$u = 4 \arctan \frac{-x + \frac{t}{4k_1^2} + \frac{1}{k_1}}{e^{-2\xi_1} + \frac{1}{16k_1^2} e^{2\xi_1}}. \quad (56)$$

解(56)的图像如图3所示,其中  $k_1 = 1, 2, \xi_1^{(0)} = 0, \beta_1(z) = 3z^2$ .



(a) 当  $t=7$  时,二维平面图

(b)  $u$  的三维图

图3 带极限源的 sine-Gordon 方程的解(56)的图像  
**Fig. 3 Plots for the solution of sine-Gordon equation with new self-consistent sources given by (56)**

### 4 结束语

本研究给出了与本征函数有关的 sine-Gordon 方程的新对称,这个对称与原有的平方本征函数对称之间存在极限关系,因此,称之为极限对称.由该

对称引出的相似约化,可以得到 sine-Gordon 方程 2-孤子解的极限解. 本研究讨论了这个解与 sine-Gordon 方程 2-孤子解之间的极限关系,并分析了解的的动力学特征. 此外,本研究还利用极限对称给出了一个新的带源的 sine-Gordon 方程,该方程是 Lax 可积的,可以被双线性化,并且得到的解具有极限解的特征. 本研究所讨论的极限对称与相应的方法可同样应用于其他可积方程.

### 参考文献:

- [1] OLVER P. Applications of lie groups to differential equations [M]. 2nd ed. Berlin: Springer-Verlag, 1993.
- [2] GARDNER C, GREENE J, KRUSKAL M, et al. Korteweg-de Vries equation and generalizations VI [J]. *Comm Pure Appl Math*, 1974, 27:97-133.
- [3] JIAO X, YAO R, LOU S Y. Approximate similarity reduction for singularly perturbed Boussinesq equation via symmetry perturbation and direct method [J]. *J Math Phys*, 2008, 49:093505.
- [4] 楼森岳,唐晓艳. 非线性数学物理方法[M]. 北京:科学出版社,2006.
- [5] JIA M, WANG J Y, LOU S Y. Approximate symmetry reduction to the perturbed one-dimensional nonlinear schrodinger equation [J]. *Chinese Physics Letters*, 2009, 26:020201.
- [6] ZHANG D J, ZHANG J B, SHEN Q. A limit symmetry of the Korteweg-de Vries equation and its applications [J]. *Theoretical and Mathematical Physics*, 2010, 163:634-643.
- [7] WADATI M, OHKUMA K. Multiple-pole solutions of the modified Korteweg-de Vries equation [J]. *J Phys Soc Jpn*, 1982, 51:2029-2035.
- [8] CHEN D Y, ZHANG D J, DENG S F. The novel multi-soliton solutions of the mKdV-sine Gordon equations [J]. *J Phys Soc Jpn*, 2002, 71:658-659.
- [9] TAKAHASHI M, KONNO K. N double pole solution for the modified Korteweg-de Vries equation by the Hirota's method [J]. *J Phys Soc Jpn*, 1989, 58:3505-3508.
- [10] ZENG Y B, LI Y S. The deduction of the Lax representation for constrained flows from the adjoint representation [J]. *J Phys A: Math Gen*, 1993, 26:273-278.
- [11] LIN R L, ZENG Y B, MA W X. Solving the KdV hierarchy with self-consistent sources by inverse scattering method [J]. *Physica A*, 2001, 291:287-298.
- [12] JOSEPHON B D. Supper current through barriers [J]. *Advan Phys*, 1965, 14:419-451.
- [13] REMOISSENET M. Wave called solitons, concepts and experiments [M]. 2nd ed. Berlin: Springer-Verlag, 1996.
- [14] LAMB G L. Analytical description of ultrashort optical pluse propagation in a resonant medium [J]. *Rev Mod Phys*, 1971, 43:99-124.
- [15] CAO C W. Nonlinearization of the Lax system for AKNS hierarchy [J]. *Sci China*, 1990, 33A:528-536.
- [16] CAO C W, GENG X G. Classical integrable systems generated through nonlinearization of eigenvalue problems [M]// *Nonlinear Physics, Research Reports in Physics*. Berlin: Springer-Verlag, 1990:68-78.
- [17] HIROTA R. Exact solution of the KdV equation for multiple collisions of solitons [J]. *Phys Rev Lett*, 1971, 27:1192-1194.
- [18] HIROTA R. Exact solution of the sine-Gordon equation for multiple collisions of solitons [J]. *J Phys Soc Jpn*, 1972, 33:1459-1463.
- [19] ABLOWITZ M J, SEGUR H. Solitons and the inverse scattering transform [M]. Philadelphia: SIAM, 1981.
- [20] 陈登远. 孤子引论[M]. 北京:科学出版社,2006.
- [21] ZHANG D J. The N-soliton solutions of the sine-Gordon equation with self-consistent sources [J]. *Physica A*, 2003, 321:467-481.

(编辑:孟庆勋)